

гии ионов и большом отношении  $A/Z$ . Поэтому предпочтительнее установки, в которых могут быть применены пучки тяжёлых малозарядных ионов, как, напр.,  $\text{Bi}^{+1}$ ,  $\text{Bi}^{+2}$ ,  $\text{U}^{+2}$ ,  $\text{U}^{+4}$ .

Для ускорения ионов в драйвере предполагается использование линейных ускорителей (ЛУ): индукционных ускорителей (ЛИУ) и резонансных ускорителей (ЛРУ) (подробнее см. Тяжёлые ионы ускорители). При конечной энергии ионов  $\sim 10$  ГэВ и полной энергии пучка  $\sim 10$  МДж на мишень должен поступить заряд  $\sim 10^{-3}$  кулона. Требуемый заряд пучка на входе ЛУ образуется за счёт достаточно большой длительности импульса тока. Необходимая мощность пучка на выходе драйвера должна быть достигнута путём сокращения длительности пучка с соответствующим увеличением тока.

В схеме ЛИУ за счёт подбора формы ускоряющего напряжения в индукторах длительность пучка может быть сокращена в процессе ускорения с 50 мкс до 25 нс с соответствующим увеличением суммарного тока с 20 А до 40 кА. Возникающие при этом трудности связаны с возможными коллективными неустойчивостями пучка и с повышенными требованиями к интенсивности ионных источников.

В схемах драйверов с ЛРУ требуются спец. накопительные и компрессионные кольца, т. к. предельный ток пучка в ЛРУ в принципе существенно меньше, чем в ЛИУ. Ток пучка на выходе ЛРУ может составить 0,2 А при длительности 5 мс. Предполагается использование многократной и многооборотной инъекции в накопительное кольцо с последующим дополнит. сжатием сгустков в компрессионных кольцах за счёт преобразования продольного фазового объёма пучка — сокращения длительности и увеличения энергетич. разброса. В итоге длительность пучков, как и в схеме ЛИУ, сокращается приблизительно до 25 нс, а суммарный ток всех пучков на мишени доходит до 40 кА.

Создание ЛУ для тяжёлых малозарядных ионов связано с необходимостью ускорения интенсивных пучков с весьма низкими нач. скоростями ионов ( $\beta \sim 0,0015$ ). Эту проблему удалось в значит. мере решить после открытия принципа пространственно-однородной квадрупольной фокусировки и изобретения схемы с разветвлёнными каналами ускорения.

Проблемы фокусировки пучков на мишени миллиметровых размеров требуют подавления сферич. и хроматич. aberrаций ионной оптики и исследования распространения пучков в объёме реактора.

Предполагается, что один драйвер сможет обслужить до четырёх реакторов, каждый из которых будет работать с частотой «микровзрывов» не ниже 10 Гц. КПД драйвера и мишени  $\eta$  с учётом КПД электростанций, использующих тепловую энергию синтеза, должен удовлетворять условию  $\eta Y \geq 3$ , откуда видно, что КПД драйвера должен быть не менее 15—20%. Ионные ускорители позволяют обеспечить это условие.

Повышение полной энергии и особенно мощности импульсного пучка тяжёлых ионов откроет в дальнейшем принципиально новые возможности ИТС за счёт достижения сверхплотных сжатий вещества мишени (в 10<sup>5</sup>—10<sup>6</sup> раз). В таком случае возможны термоядерные реакции в разн. веществах, в частности в чистом дейтерии или в боро-водородной смеси.

ИТС является важным альтернативным направлением развития термоядерной энергетики; исследования по ИТС проводят мн. научные центры в ФРГ, США, СССР, Японии и Великобритании.

*Лит.: Keele D., Sessler A. M., Heavy ion inertial fusion, в кн.: 11-th Int. Conf. on High-Energy Accelerators, Geneva, Proceedings, 1980, Basel—Boston—Stuttgart, 1980, p. 201; Bock R., Heavy ion fusion, «IEEE Trans. on Nuclear Sciences», 1983, v. NS-30, № 4, pt 2, p. 3049; Д. Ю. д. р. штадт Д. Ж., Мозес Г., Инерциальный термоядерный синтез, пер. с англ., М., 1984; И. М. Капчинский и др., О некоторых результатах работ по проблеме управляемого термоядерного синтеза на тяжёлых ионах в ИТЭФ, Препринт ИТЭФ, М., 1985. И. М. Капчинский.*

**ИОНОЛЮМИНЕСЦЕНЦИЯ** — свечение люминофора, возбуждаемое ионным пучком. Чаще всего для возбуждения И. используют положит. ионы с энергией в неск. кэВ. Глубина проникновения ионов в люминофор порядка неск. А, поэтому И.носит поверхностный характер. Выход И. примерно на 2 порядка ниже выхода катодолюминесценции тех же люминофоров и падает с уменьшением энергии ионов. Бомбардировка ионами приводит к быстрому старению люминофора. См. также Люминесценция.

**ИОНОСФЕРА** — ионизованная часть атмосферы верхней; расположена выше 50 км. Верх. границей И. является внеш. часть магнитосфера Земли. И. представляет собой природное образование разреженной слабоионизированной плазмы, находящейся в магн. поле Земли и подвергающейся воздействию ионизующего излучения Солнца. Только благодаря И. возможно распространение радиоволн на дальние расстояния.

**Методы наблюдений ионосферы.** Изучение И. началось в 20-х гг. 20 в. методом вертикального радиозондирования на разных частотах  $f$ . Макс. значение частоты радиоволн, отражённых от данной области И., соответствует её плазм. частоте  $f_0$  и связано с электронной концентрацией  $n_e$  ф-вой:

$$f_0 = \sqrt{\frac{n_e e^2}{\pi m_e e_0}} = 9 \cdot 10^3 \sqrt{n_e} \text{ Гц},$$

где  $e$  и  $m$  — заряд и масса электрона,  $e_0$  — диэлектрич. проницаемость вакуума. Вертикальное радиозондирование даёт информацию об изменениях И. над данным пунктом, а мировая сеть станций позволила получить глобальную картину распределения  $n_e$  в И. по земному шару за ряд солнечных циклов. Применение ракет и спутников позволило непосредственно измерить ионный состав (при помощи масс-спектрометра) и др. физ. характеристики И. (темпер-ру и концентрацию ионов  $T_i$ ,  $n_i$  и электронов  $T_e$ ,  $n_e$ ) на всех высотах, исследовать источники ионизации — интенсивность и спектр коротковолнового ионизующего излучения Солнца и разнообразных корпускулярных потоков. Это дало возможность построить теорию образования И. С помощью спутников, несущих на борту ионосферную станцию и зондирующих И. сверху, удалось исследовать верх. часть И., расположенную выше гл. максимума  $n_e$  и поэтому недоступную для изучения наземными ионосферными станциями.

Наряду с ракетами и спутниками применяются наземные методы исследования, особенно важные для изучения ниж. части И.: методы частичного отражения и перекрёстной модуляции, измерения поглощения космич. радиоизлучения на разных частотах, исследования поля длинных и сверхдлинных радиоволн, а также метод наклонного и возвратно-наклонного зондирования. Большое значение имеет метод обратного некогерентного (томсоновского) рассеяния, основанный на принципе радиолокации. Этот метод позволяет измерять не только распределение  $n_e$  до очень больших высот (1000 км и выше), но даёт также  $T_e$ ,  $T_i$ , ионный состав, регулярные и нерегулярные движ. и др. параметры И.

**Структура ионосферы.** Установлено, что  $n_e$  в И. распределена по высоте неравномерно: имеются области или слои, где она достигает максимума (рис. 1). Таких слоёв в И. несколько, и они не имеют резко выраженных границ. Верх. слой  $F$  соответствует гл. максимуму ионизации И. Ночью он поднимается до высот 300—400 км, а днём (прим. летом) раздваивается на слои  $F_1$  и  $F_2$  с максимумами на высотах 160—200 км и 220—320 км. На высотах 90—150 км находится область  $E$ , а ниже 90 км — область  $D$ . Слоистость И. обусловлена резким изменением по высоте условий её образования.

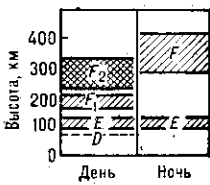


Рис. 1. Схема вертикального строения ионосферы.